

RICHARD, Pierre J.H., Bianca FRÉCHETTE, Pierre GRONDIN et Martin LAVOIE, 2020. Histoire postglaciaire de la végétation de la forêt boréale du Québec et du Labrador. *Le Naturaliste canadien*, 144 (1): 63-76. <https://doi.org/10.7202/1070086ar>

Diffusion numérique de l'article original : 17 mars 2020

Diffusion numérique de la version corrigée : 15 décembre 2021.

À la figure 1, une erreur s'est glissée dans l'interpolation, en années étalonnées, des isochrones de la déglaciation à chaque millénaire présentés dans Dyke et collab. (2003). Les auteurs du présent article avaient mis à jour ces isochrones à partir des cartes récentes de Dalton et collab. (2020). Or, la glace satellite à cheval sur la frontière entre le Québec et le Labrador n'existait pas il y a 7 000 ans avant l'Actuel. Elle n'aurait pas dû être reproduite, car cette position est erronée sur la carte correspondante de Dalton et collab. (2020) consultée pour cette mise à jour.

Figure 1 erronée

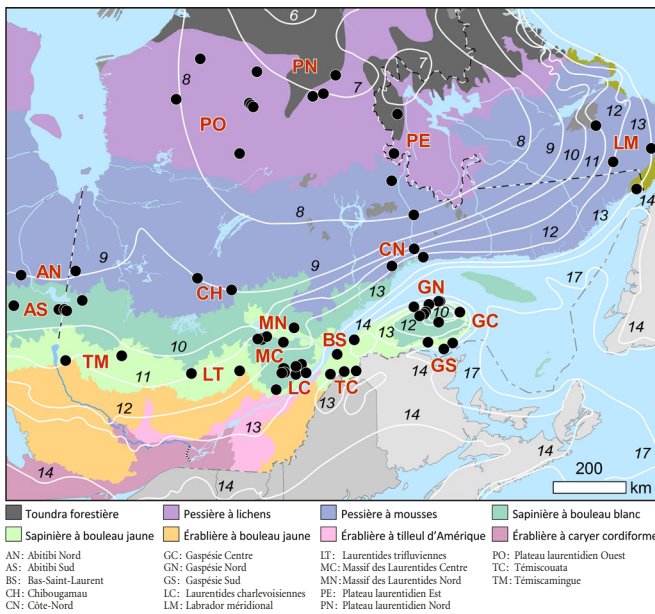


Figure 1 corrigée

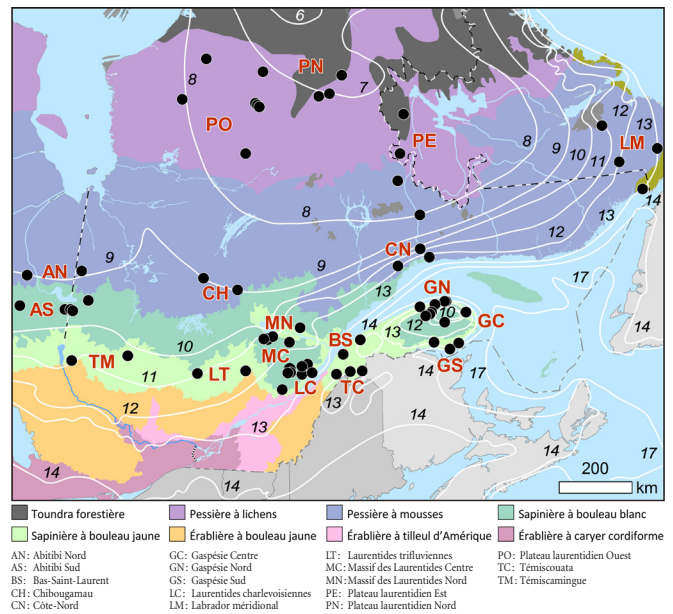


Figure 1. Répartition des lacs (points noirs) dont les sédiments ont livré des diagrammes polliniques et identification des 18 secteurs de la figure 3 dans les divers domaines bioclimatiques de la forêt boréale du Québec et du Labrador selon Saucier et collab. (2009) et selon Baldwin et collab. (2018) pour le Labrador et l'Ontario. Les lignes blanches isochrones de la dernière déglaciation (Dyke et collab., 2003; mis à jour) sont tracées à tous les 1000 ans avant l'Actuel (soit l'année 1950 de notre ère, par convention), sauf pour 17 ka AA dans le golfe du Saint-Laurent. Le nombre en caractères italiques au-dessus de chaque isochrone en indique l'âge.

Références citées

DALTON, A. S., M. MARGOLD, C.R. STOKES, L. TARASOV, A.S. DYKE, R.S. ADAMS, S. ALLARD, H.E. ARENDS, N. ATKINSON, J. ATTIG, P.J. BARNETT, R.I. BARNETT, M. BATTERSON, T. BELL, P. BERNATCHEZ, H.W. BURNS, JR., A. BRECKENRIDGE, J.P. BRINER, E. BROUARD, J.E. CAMPBELL, A.E. CARLSON, J.J. CLAGUE, B.B. CURRY, R.A. DAIGNEAULT, H. DUBÉ-LOUBERT, D.J. EASTERBROOK, D.A. FRANZI, H.G. FRIEDRICH†, S. FUNDER, M.S. GAUTHIER, A.S. GOWAN, K.I. HARRIS, B. HÉTU, T.S. HOOYER†, C.E. JENNINGS, M.D. JOHNSON, A.E. KEHEW, S.E. KELLEY, D. KERR, E.L. KING, K.K. KIJLSDEN, A.R. KNAEBLE, P. LAJEUNESSE, T.R. LAKEMAN, M. LAMOTHE, P. LARSON, M. LAVOIE, H.M. LOOPE, T.V. LOWELL, B.A. LUSARDI, L. MANZ, I. MCMARTIN, F.C. NIXON, S. OCCHIETTI, M.A. PARKHILL, D.J.W. PIPER, A.G. PRONK, P.J.H. RICHARD, J.C. RIDGE, M. ROSS, M. ROY, A. SEAMAN, J. SHAW, R.R. STEA, J.T. TELLER, W.B. THOMPSON, H.L. THORLEIFSON, D.J. UTTING, J.J. VEILLETTE, B.C. WARD, T.K. WEDDLE, H.E. WRIGHT, JR.†, 2020. An updated radiocarbon-based ice margin chronology for the last deglaciation of the North American Ice Sheet Complex. *Quaternary Science Reviews*, 234 (2020) 106223. <https://doi.org/10.1016/j.quascirev.2020.106223>.

DYKE, A.S., A. MOORE ET L. ROBERTSON, 2003. Deglaciation of North America. Geological Survey of Canada, Open File 1574.